ПРОБЛЕМЫ ПЕРЕДАЧИ ИНФОРМАЦИИ

Том 60 2024 Вып. 4

УДК 621.391:004.725.5

(С) 2024 г. А.В. Ритерман, Д.В. Банков, А.И. Ляхов, Е.М. Хоров

ОБ ЭФФЕКТИВНОСТИ МЕТОДА ДОСТУПА К КАНАЛУ С ВЫТЕСНЕНИЕМ В СЕТЯХ Wi-Fi 8^1

Для обеспечения надежной доставки пакетов с низкой задержкой, требуемой приложениями реального времени (англ.: real-time applications, RTAs), разрабатывается метод доступа к каналу с вытеснением, который будет определен в дополнении к стандарту Wi-Fi 8. В статье проведено исследование эффективности данного метода доступа в сети с одной RTA-станцией. Для этого разрабатывается аналитическая модель сети Wi-Fi 8, использующей метод доступа к каналу с вытеснением, с помощью которой находятся параметры метода доступа к каналу, при которых обеспечивается низкая задержка и высокая надежность доставки RTA-трафика, а эффективность использования канала станциями, передающими менее приоритетные кадры, максимальна.

Kлoиевые cлoва: приложения реального времени, доступ к каналу с вытеснением, Wi-Fi 8, IEEE 802.11bn.

DOI: 10.31857/S0555292324040041, EDN: QPNGPH

§ 1. Введение

Поддержка приложений реального времени (англ.: real time applications, RTA), таких как приложения виртуальной и дополненной реальности (VR/AR) и различные индустриальные приложения, является важной задачей для современных сетей Wi-Fi. Обычно RTA-трафик требует обеспечивать низкую задержку доставки пакетов (порядка 1–10 мс) с высокой надежностью (вероятность своевременной доставки пакетов порядка 99,999%) [1]. На данный момент сети Wi-Fi не всегда могут удовлетворить требования к качеству обслуживания RTA-трафика. Один из источников такой проблемы состоит в невозможности передачи каких-либо данных в то время, когда канал занят другой передачей, которая может длиться несколько миллисекунд.

Для решения данной проблемы в новом дополнении к стандарту сетей Wi-Fi, IEEE 802.11bn [2, 3], предлагается добавить механизм вытеснения (англ.: preemption). При его использовании станции Wi-Fi, получив доступ к каналу, разделяют передачу неприоритетных данных на фрагменты, между которыми предусмотрены интервалы времени, когда другие станции могут захватить канал для передачи приоритетных данных.

Данный механизм новый для сетей Wi-Fi, и в литературе практически нет исследований его эффективности. На данный момент существует исследование, в котором предложены и описаны три схемы приоритетного доступа к каналу, адаптированные для механизма вытеснения [4]. В первых двух схемах RTA-станции взводят

¹ Исследование выполнено в ИППИ РАН за счет гранта Российского научного фонда № 24-19-00816, https://rscf.ru/project/24-19-00816/.

случайные счетчики отсрочки, прежде чем передать данные с помощью механизма вытеснения. Отличие этих схем состоит в том, когда именно уменьшаются значения этих счетчиков. В первой схеме счетчик уменьшается при детектировании кадра, позволяющего использовать механизм вытеснения. Во второй схеме счетчик уменьшается на границах слотов, аналогично тому, как это происходит в стандартном методе доступа EDCA (англ.: enhanced distributed channel access). В третьей схеме для каждой RTA-станции вводится вероятность получения доступа к каналу в момент времени, когда можно начать передачу данных с использованием механизма вытеснения. В работе [4] нет данных о том, позволяют ли рассмотренные подходы удовлетворить требования к качеству обслуживания RTA-трафика.

В статье рассматривается сценарий, в котором в сети есть точка доступа, передающая низкоприоритетные данные подключенным к ней станциям, и RTA-станция, передающая срочные кадры точке доступа. В статье исследуются зависимости распределения задержки доставки срочных кадров и эффективности использования канала от параметров механизма вытеснения и интенсивности RTA-трафика. Под задержкой подразумевается время, прошедшее с момента генерации RTA-кадра до получения подтверждения о его доставке, а под эффективностью использования канала — доля времени, в течение которого точка доступа передает полезные данные, прямо пропорциональная пропускной способности сети. Исследуется, какие факторы сильнее всего влияют на задержку доставки RTA-кадров. Разработана аналитическая модель метода доступа с вытеснением для случая одной станции, передающей RTA-кадры в сети.

Дальнейшее изложение построено следующим образом. В § 2 содержится дополнительная информация о механизме вытеснения. В § 3 приводятся сценарий и постановка задачи. В § 4 описывается математическая модель сети Wi-Fi с механизмом вытеснения. В § 5 приведены полученные численные результаты. В § 6 представлено заключение статьи.

§ 2. Объект исследования

В современных сетях Wi-Fi основным методом доступа к каналу является механизм случайного доступа EDCA, краткое и упрощенное описание которого приведено ниже.

Перед получением доступа к каналу станции Wi-Fi должны прослушать канал и определить, свободен ли он. Если новый кадр на передачу поступает в пустую очередь и канал свободен, то станция сразу начинает передачу, в противном случае она взводит счетчик отсрочки. Счетчик отсрочки инициализируется целым числом, которое равновероятно выбирается из полуинтервала $[0, W_r)$. Параметр W_r называется конкурентным окном, его значение зависит от количества неудачных попыток передачи текущего кадра r следующим образом:

$$W_r = \begin{cases} W_{\min}, & r = 0, \\ \min(2W_{r-1}, W_{\max}), & r > 0, \end{cases}$$
 (1)

где W_{\min}, W_{\max} – границы конкурентного окна.

Пока канал свободен, счетчик отсрочки уменьшается на единицу после каждого пустого временного слота длительностью σ . Когда канал занят, счетчик отсрочки замораживается. Как только канал оказывается свободным в течение межкадрового интервала AIFS (англ.: arbitration inter-frame space), станция возобновляет отсчет и уменьшает значение счетчика отсрочки.

Когда значение счетчика отсрочки достигает нуля, станция совершает попытку передачи кадра данных. Попытка считается успешной, если станция-отправитель получит кадр подтверждения АСК от станции-получателя через короткий межкад-

ровый интервал SIFS (англ.: short inter-frame spacing). Если станция-отправитель в течение интервала времени AckTimeout после окончания передачи не детектирует начало подтверждения, попытка считается неудачной. В случае неудачи станция увеличивает счетчик r и продолжает попытку передачи кадра данных. При успешной передаче счетчик r обнуляется, и станция переходит к передаче следующих данных при их наличии.

Станция получает доступ к каналу на время TXOP (англ.: transmission opportunity). При этом станция может передать как несколько кадров, так и один. Однако время, в течение которого станция занимает канал, включая кадр подтверждения, не должно превышать предельное значение длительности TXOP (TXOP limit).

Механизм случайного доступа EDCA определяет четыре категории доступа (англ.: access categories, ACs), для каждой из которых установлены свои значения $W_{\min}, W_{\max}, \text{AIFS}$ и TXOP limit. Такое разделение на категории можно использовать для того, чтобы станции, передающие RTA-кадры, могли получать доступ к каналу раньше, чем станции, передающие неприоритетные данные. В частности, чтобы минимизировать вероятность коллизии между станциями, передающими RTA-кадры, и станциями, передающими кадры другого типа, можно установить параметры так, чтобы значение AIFS $+ W_{\text{max}}$ для RTA-кадров было меньше значения AIFS для остальных кадров. В то же время остается проблема, связанная с тем, что пока канал занят передачей одной станции, другая не может передавать данные и должна дождаться освобождения канала, что может привести к длительным задержкам. С одной стороны, можно ограничивать максимальную длительность передачи для неприоритетного трафика так, чтобы учесть максимальную задержку на ожидание конца передачи [5], однако такой подход приведет к снижению эффективности использования канала при передаче неприоритетного трафика, связанному с накладными расходами на получение доступа к каналу и на передачу служебных данных. Этого можно избежать, используя механизм вытеснения, который не требует ограничения максимальной длительности передачи для неприоритетного трафика, и в то же время позволяет станциям, передающим RTA-кадры, получать доступ к каналу, не дожидаясь окончания длительной передачи.

Дополнение к стандарту IEEE 802.11bn еще только разрабатывается, и подробного описания механизма вытеснения в нем нет. Поэтому приведем упрощенное описание данного механизма, сохранив наиболее важные его свойства. Будем рассматривать передачу неприоритетных данных от точки доступа, предполагая, что в ее начале происходит обмен кадрами RTS/CTS (англ.: ready to send/clear to send), чтобы избежать длительной коллизии. Для этого точка доступа начинает передачу кадром RTS, в ответ на которую станция-получатель отправляет CTS, и после получения СТЅ точка доступа начинает передачу данных. Данные разделяются на несколько коротких фрагментов (длиной T), между которыми предусмотрены промежутки времени длительностью XIFS, которые в данной статье равны PIFS (англ.: PCF inter-frame space, $PIFS = SIFS + \sigma$), когда канал свободен. При отсутствии приоритетного трафика точка доступа совершает передачу до конца ТХОР так, чтобы в конце TXOP получить кадр с блочным подтверждением (англ.: Block ACK, ВАСК), подтверждающим доставку каждого фрагмента. Причем если в ТХОР не укладывается целое количество фрагментов длиной T и BACK, то TXOP соответствующим образом заканчивается позже (при этом длительность TXOP L изначально устанавливается такой, чтобы при "удлинении" TXOP не превысил TXOP limit). При наличии RTA-кадров появляется возможность передать их с использованием механизма вытеснения. Для этого станция через SIFS после окончания фрагмента передает RTA-кадр, на который точка доступа передает подтверждение. Через PIFS после передачи подтверждения точка доступа продолжает передачу фрагментов. Если произошло вытеснение, передачу следующего RTA-кадра станция может выполнить только после очередного фрагмента от точки доступа. Другими словами, RTA-станция не может с помощью механизма вытеснения передать два RTA-кадра подряд. В случае коллизии при вытеснении точка доступа теряет TXOP, и RTA-станции, чьи передачи попали в коллизию, разрешают ее методом EDCA.

Точка доступа объявляет станциям о доступе с использованием механизма вытеснения и об интервалах времени, когда можно сделать вытеснение, в заголовке первого фрагмента. Для снижения накладных расходов последующие фрагменты имеют более короткие заголовки, которые лишь содержат небольшую преамбулу, необходимую для возобновления синхронизации приемника. При этом в случае успешного вытеснения следующий фрагмент снова содержит полный заголовок, поскольку принимающая станция за время передачи RTA-данных теряет синхронизацию.

Не очевидно, как следует выбирать значение параметра механизма вытеснения T. Например, с одной стороны, значение T следует устанавливать как можно большим, чтобы минимизировать накладные расходы, связанные с межкадровыми интервалами и заголовками. С другой стороны, значение T определяет максимальное время, которое RTA-станции нужно ждать до получения возможности вытеснения. Возникает вопрос, как выбирать параметр механизма вытеснения T, удовлетворяющий требования к качеству обслуживания RTA-трафика, при которых эффективность использования канала при передаче неприоритетных данных была бы максимальна.

§ 3. Сценарий и постановка задачи

Будем рассматривать сеть Wi-Fi, состоящую из точки доступа, передающей насыщенные потоки с неприоритетными данными, станций, принимающих данные от точки доступа, и одной станции, генерирующей ненасыщенный RTA-трафик (называемой RTA-станцией). У точки доступа всегда есть данные на передачу, в то время как у RTA-станции после успешной передачи новые данные появляются через временной промежуток, распределенный экспоненциально с параметром λ [6]. Все станции находятся в зоне уверенного приема кадров друг от друга. Будем считать, что в случае одновременной передачи кадров от разных станций происходит коллизия, в результате которой ни один кадр не доставляется успешно. При этом используется достаточно надежная сигнально-кодовая конструкция [7], такая что можно пренебречь влиянием случайного шума на передачи, и в отсутствие коллизий передача данных всегда успешна. При этом для RTA-трафика требуется, чтобы Q^* -квантиль задержки доставки пакетов не превышал ограничения D^* .

Устройства используют механизм вытеснения. Значения AIFS и конкурентных окон для трафика от точки доступа и RTA-станций установлены так, чтобы после освобождения канала RTA-станция всегда получала доступ к каналу раньше точки доступа.

Определим эффективность использования канала как долю времени, в течение которого точка доступа передает части кадров с полезными данными. Эта величина прямо пропорциональна пропускной способности сети. В статье ставится следующая задача: найти длительность фрагмента T, обеспечивающую требуемую задержку и надежность доставки RTA-кадров, при которых эффективность использования канала точкой доступа S максимальна. Данную задачу можно сформулировать как следующую задачу оптимизации:

$$\max_{T} S(T)$$
при условии $\mathbf{P}(D(T) \leqslant D^*) \geqslant Q^*,$ (2)

где D – задержка доставки RTA-кадров, D^* – ограничение на эту задержку, Q^* – минимально допустимая вероятность своевременной доставки RTA-кадров.

§ 4. Математическая модель

Для решения поставленной задачи разработана аналитическая модель, описание которой приводится ниже. Данная модель построена на основе аналитических моделей, представленных в [5,8].

Пусть интенсивность трафика от RTA-станции намного меньше интенсивности трафика от точки доступа. Тогда можно рассматривать процесс передачи RTA-станции как некоторое возмущение поверх стационарного процесса передачи точки доступа.

В описанной ниже математической модели параметры $W_{\min}^{\rm AP},~W_{\max}^{\rm AP}$ и AIFS_{AP} обозначают границы конкурентного окна и AIFS для точки доступа, а параметры $W_{\min}^{\rm RTA},~W_{\max}^{\rm RTA}$ и AIFS_{RTA} – для RTA-станции.

4.1. Передача точки доступа. Опишем процесс передачи точки доступа в отсутствие RTA-станции. Время в канале, аналогично [9], делится на виртуальные слоты – интервалы времени между последовательным уменьшением счетчика отсрочки. Процесс передачи точки доступа можно разделить на интервалы (далее – интервалы обслуживания), состоящие из отсчета отсрочки и передачи кадра. Рассмотрим один такой интервал обслуживания.

Точка доступа перед передачей отсчитывает отсрочку, среднее значение которой составляет

$$\bar{b} = \frac{W_{\min}^{AP} - 1}{2}.$$

После этого точка доступа передает в течение $L_{\rm ext}$ – длительности ТХОР, удлиненной так, чтобы передать целое число фрагментов и ВАСК:

$$L_{\text{ext}} = T_{\text{first}} + k \cdot T_{\text{mid}} + T_{\text{last}},\tag{3}$$

где $T_{\rm first}$ – длительность интервала (далее называемого *первым интервалом*) времени между началом передачи от точки доступа и первой возможностью прерывания, $T_{\rm mid}$ – длительность интервала (далее – cpedhuŭ интервал) времени между моментами, когда возможно прерывание, $T_{\rm last}$ – длительность интервала (далее – $noc.ned-hu\ddot{u}$ интервал) времени между концом последнего из средних интервалов и концом TXOP, k – максимальное количество интервалов длиной $T_{\rm mid}$, которые могут уложиться в $L_{\rm ext}$ так, чтобы в начале успел произойти обмен кадрами RTS/CTS, а в конце точка доступа получила ВАСК. Длительности интервалов равняются

$$T_{\rm first} = T_{\rm RTS} + {\rm SIFS} + T_{\rm CTS} + {\rm SIFS} + T + {\rm SIFS},$$

$$T_{\rm mid} = \sigma + T + {\rm SIFS},$$

$$T_{\rm last} = \sigma + T + {\rm SIFS} + {\rm BACK},$$

где $T_{\rm RTS}$ и $T_{\rm CTS}$ – длительности кадров RTS и CTS соответственно. Значение k находится из системы

$$\begin{cases} k = \left\lceil \frac{L - T_{\text{first}} - T_{\text{last}}}{T_{\text{mid}}} \right\rceil, & L - T_{\text{first}} - T_{\text{last}} > 0, \\ k = 0, & L - T_{\text{first}} - T_{\text{last}} \leqslant 0. \end{cases}$$
(4)

После передачи точка доступа ждет ${\rm AIFS_{AP}}.$ Таким образом, средняя длительность интервала обслуживания равна

$$L_{\text{period}} = \bar{b} \cdot \sigma + L_{\text{ext}} + \text{AIFS}_{\text{AP}}.$$
 (5)

4.2. Распределение задержки. Рассмотрим передачу RTA-кадра. Распределение задержки RTA-кадра зависит от состояния канала в момент его генерации. Можно

выделить следующие возможные события: генерация кадра в пустом слоте, в первом интервале, в одном из средних и в последнем. Вероятности этих событий обозначим через $p_{\rm idle}$, $p_{\rm first}$, $p_{\rm mid}$, $p_{\rm last}$ соответственно. Функции распределения задержки, соответствующие этим событиям, обозначим через $F_{\rm idle}(t)$, $F_{\rm first}(t)$, $F_{\rm mid}(t)$, $F_{\rm last}(t)$.

Итоговая функция распределения задержки имеет вид

$$F(t) = p_{\text{idle}} \cdot F_{\text{idle}}(t) + p_{\text{first}} \cdot F_{\text{first}}(t) + p_{\text{mid}} \cdot F_{\text{mid}}(t) + p_{\text{last}} \cdot F_{\text{last}}(t). \tag{6}$$

Рассмотрим каждый из четырех случаев подробнее.

Генерация в пустом слоте. Согласно сценарию значение AIFS для RTA-станции меньше, чем для точки доступа, поэтому после освобождения канала RTA-станция начинает отсчет отсрочки на

$$\Delta_{AIFS} = \frac{AIFS_{AP} - AIFS_{RTA}}{\sigma}$$

пустых слотов раньше, чем точка доступа. Учитывая это, вероятность $p_{\rm idle}$ может быть найдена как доля времени, когда канал свободен:

$$p_{\text{idle}} = \frac{(\bar{b} + \Delta_{\text{AIFS}}) \cdot \sigma}{L_{\text{period}}}.$$
 (7)

Рассмотрим произвольный пустой слот с точки зрения RTA-станции. Вероятность того, что точка доступа начнет передавать на границе рассматриваемого слота, равна среднему количеству передач за интервал обслуживания, деленному на среднее количество слотов в интервале обслуживания:

$$\tau = \frac{1}{\bar{b} + \Delta_{AIFS} + 1}.$$
 (8)

При генерации RTA-кадра во время пустого слота RTA-станция начинает передачу кадра на границе слота, и возможно несколько случаев:

- Если точка доступа не передает в следующем слоте (с вероятностью $1-\tau$), происходит успешная передача RTA-станции. Соответствующую функцию распределения задержки обозначим через $F_{\text{idle}}^s(t)$;
- Если точка доступа передает в следующем слоте (с вероятностью τ), происходит коллизия между кадрами RTA-станции и точки доступа. Соответствующую функцию распределения задержки обозначим через $F_{\rm idle}^c(t)$.

Результирующая функция распределения задержки $F_{\rm idle}(t)$ имеет вид

$$F_{\text{idle}}(t) = (1 - \tau) \cdot F_{\text{idle}}^{s}(t) + \tau \cdot F_{\text{idle}}^{c}(t). \tag{9}$$

Найдем входящие в нее вероятности и функции распределения задержек.

Успешная передача RTA-станции. Задержка передачи кадра в случае успешной передачи складывается из времени ожидания от момента генерации кадра до начала следующего слота и последующей передачи кадра. Чтобы найти ее функцию распределения, рассмотрим задачу в общем случае, когда RTA-кадр генерируется в течение интервала времени длительностью g, а после окончания интервала передается за время s. Найдем вероятность того, что задержка RTA-кадра, которую обозначим через D, будет не больше чем t. Пусть x – время от начала интервала g до момента генерации RTA-кадра, причем x – экспоненциально распределенная на отрезке [0,g] случайная величина.

Искомая вероятность равна

$$\mathbf{P}(D < t \mid x < g) = \mathbf{P}(g - x + s < t \mid x < g) = \frac{\mathbf{P}(g + s - t < x < g)}{\mathbf{P}(x < g)}.$$

Введем функцию $\Phi(t,g,s)$ для упрощения выкладок:

$$\Phi(t,g,s) = \frac{\mathbf{P}(g+s-t < x < g)}{\mathbf{P}(x < g)} = \begin{cases} 0, & t < s, \\ \frac{e^{-\lambda(g+s-t)} - e^{-\lambda g}}{1 - e^{-\lambda g}}, & s \leqslant t < g+s, \\ 1, & t \geqslant g+s. \end{cases}$$
(10)

Используя (10), функцию распределения задержки $F^s_{\text{idle}}(t)$ можно записать как

$$F_{\text{idle}}^{s}(t) = \Phi(t, \sigma, T_r), \tag{11}$$

где

$$T_r = \text{DATA} + \text{SIFS} + \text{ACK}$$

 время успешной передачи RTA-станции (DATA – длительность кадра данных RTAстанции, ACK – длительность подтверждения).

Коллизия между RTA-станцией и точкой доступа. С вероятностью τ при попытке передачи RTA-кадра возникает коллизия с точкой доступа. При коллизии с точкой доступа RTA-станция взведет счетчик отсрочки b, отсчет которого начнется после интервала времени, равного длительности коллизии

$$T_c = \max\{\text{RTS}, \text{DATA}\} + \text{ACKTIMEOUT} + \text{AIFS}_{\text{RTA}},$$

где ACKTIMEOUT — время, в течение которого станция ожидает получения подтверждения. Затем через время $b \cdot \sigma$ RTA-станция совершит повторную попытку передачи. Функция распределения задержки при конкретном значении b будет равна

$$\Phi(t, \sigma, T_c + b \cdot \sigma + T_r).$$

Согласно сценарию у RTA-станции установлены приоритетные значения AIFS и конкурентных окон (таблица 1), поэтому повторная коллизия с точкой доступа невозможна. Учитывая то, что после коллизии счетчик отсрочки выбирается равновероятно из полуинтервала $[0, W_1^{\text{RTA}})$, где

$$W_1^{\text{RTA}} = \min \{2W_{\min}^{\text{RTA}}, W_{\max}^{\text{RTA}}\},\$$

получим функцию распределения задержки $F^c_{\mathrm{idle}}(t)$ в случае коллизии RTA-станции с точкой доступа:

$$F_{\text{idle}}^{c}(t) = \frac{1}{W_{1}^{\text{RTA}}} \sum_{b=0}^{W_{1}^{\text{RTA}} - 1} \Phi(t, \sigma, T_{c} + b \cdot \sigma + T_{r}). \tag{12}$$

Генерация в первом и средних интервалах Вероятности генерации RTA-кадра в первом интервале и в одном из средних интервалов могут быть приближенно найдены как

$$p_{\text{first}} = \frac{T_{\text{first}}}{L_{\text{period}}},\tag{13}$$

$$p_{\text{mid}} = \frac{k \cdot T_{\text{mid}}}{L_{\text{period}}}.$$
 (14)

Кадр, сгенерированный в одном из таких интервалов, будет успешно передан с использованием механизма вытеснения при первой такой возможности. Задержка при успешной передаче складывается из времени ожидания, отсчитанного от момента генерации кадра до конца интервала, т.е. до возможности сделать вытеснение, и длительности T_r . Длительности $T_{\rm first}$ и $T_{\rm mid}$ различны, поэтому функция распределения задержки при генерации RTA-кадра в первом интервале находится как

$$F_{\text{first}}(t) = \Phi(t, T_{\text{first}}, T_r), \tag{15}$$

а при генерации RTA-кадра в одном из средних интервалов – как

$$F_{\text{mid}}(t) = \Phi(t, T_{\text{mid}}, T_r) \tag{16}$$

соответственно.

Генерация в последнем интервале. Вероятность генерации RTA-кадра в последнем интервале равна

$$p_{\text{last}} = \frac{T_{\text{last}}}{L_{\text{period}}}.$$
 (17)

При генерации кадра в последнем слоте RTA-станция взводит счетчик отсрочки, который равновероятно выбирается из полуинтервала $[0,W_{\min}^{RTA})$, ждет окончания TXOP, после чего через время AIFS_{RTA} начинает отсчет отсрочки, который достигнет значения 0 спустя время $b \cdot \sigma$, и затем успешно передает RTA-кадр.

Задержка передачи RTA-кадра будет складываться из времени, прошедшего от момента генерации кадра до конца TXOP, AIFS_{RTA}, времени отсчета отсрочки и T_r . Согласно сценарию у RTA-станции установлены приоритетные значения AIFS и конкурентных окон, поэтому коллизия с точкой доступа невозможна. По аналогии с формулой (12) функция распределения задержки при конкретном значении счетчика отсрочки будет равна

$$\Phi(t, T_{\text{last}} + \text{AIFS}_{\text{RTA}}, b \cdot \sigma + T_r).$$

Учитывая, что счетчик отсрочки выбирается равновероятно из полуинтервала $[0,W_{\min}^{\rm RTA})$, получим функцию распределения задержки $F_{\rm last}(t)$:

$$F_{\text{last}}(t) = \frac{1}{W_{\text{min}}^{\text{RTA}}} \sum_{b=0}^{W_{\text{min}}^{\text{RTA}} - 1} \Phi(t, T_{\text{last}} + \text{AIFS}_{\text{RTA}}, b \cdot \sigma + T_r), \tag{18}$$

4.3. Эффективность использования канала. Оценим эффективность использования канала точкой доступа.

Эффективность использования канала при отсутствии передачи RTA-кадра за интервал обслуживания обозначим через S_0 . За это время ($L_{\rm period}$) точка доступа передаст k+2 фрагмента длиной T: по одному в первом и последнем интервалах, k фрагментов в средних интервалах. Учтем, что каждый фрагмент имеет заголовок, поэтому эффективность использования канала будет равна

$$S_0 = \frac{T \cdot (k+2) - t_0(k)}{L_{\text{period}}},$$
(19)

где $t_0(k)$ – суммарная длина всех заголовков в этом случае.

Учтем наличие передач RTA-кадров. Найдем среднее количество сгенерированных за интервал обслуживания RTA-кадров (\bar{n}) как отношение длительности ин-

тервала к сумме средней задержки передачи RTA-кадра (\bar{D}) и среднего времени ожидания перед генерацией нового RTA-кадра:

$$\bar{n} = \frac{L_{\text{period}}}{\bar{D} + \frac{1}{\lambda}}.$$
(20)

Величину \bar{D} можно найти, используя распределение задержки F(t), найденное в (6):

$$\bar{D} = \int_{0}^{\infty} x \, dF(x). \tag{21}$$

Если RTA-кадр сгенерирован во время передачи точки доступа длительностью $L_{\rm ext}$, то он будет передан с использованием механизма вытеснения. В противном случае, при генерации во время интервала длительностью

$$AIFS_{AP} + \bar{b} \cdot \sigma$$

(т.е. $L_{
m period}-L_{
m ext}$), когда канал свободен, кадр будет передан без использования механизма вытеснения. Для достижения высокой пропускной способности точке доступа целесообразно устанавливать как можно большую длительность передачи. При этом будет выполняться

$$L_{\rm ext} \gg {\rm AIFS_{AP}} + \bar{b} \cdot \sigma,$$

и большинство RTA-кадров будут передаваться с использованием механизма вытеснения, поэтому оценим эффективность использования канала следующим образом:

$$S \approx S_0 \cdot \left(1 - \frac{\bar{n} \cdot (T_r + \text{PIFS})}{L_{\text{period}}} \right) = S_0 \cdot \left(1 - \frac{T_r + \text{PIFS}}{\frac{1}{\lambda} + \bar{D}} \right), \tag{22}$$

где эффективность S_0 в случае передачи точки доступа без RTA-станции умножается на масштабирующий множитель, равный доле времени, в течение которого точка доступа передает свои кадры. Эта доля времени оценивается с учетом того, что за интервал обслуживания $L_{\rm period}$ RTA-станция генерирует в среднем \bar{n} кадров, для передачи каждого из которых отнимает у точки доступа T_r + PIFS канального времени.

§ 5. Численные результаты

В данном параграфе приводятся численные результаты исследования эффективности механизма вытеснения. Сначала в п. 5.1 показаны результаты оценки точности модели. Далее в п. 5.2 показано влияние параметра T механизма вытеснения на значение Q-квантиля задержки и эффективности использования канала. В п. 5.3 найдены оптимальные параметры механизма вытеснения.

В табл. 1 приведены значения временных интервалов и параметров EDCA, используемых при получении численных результатов.

5.1. Оценка точности модели. Для оценки точности аналитической модели была разработана имитационная модель. В отличие от аналитической модели имитационная модель не использует предположения о стационарности вероятности передачи точки доступа, а подробно моделирует процесс отсчета отсрочки. Также в имитационной модели не предполагается, что процесс передачи RTA-станции не влияет на передачи точки доступа, и учитываются изменения конкурентного окна точки

RTS = 44 мкc	$PIFS = SIFS + \sigma$	$W_{\min}^{\text{RTA}} = 4$	$L=4\mathrm{mc}$
$CTS = 44 \mathrm{mkc}$	$AIFS_{RTA} = SIFS + 2\sigma$	$W_{\rm max}^{\rm RTA} = 8$	$DATA = 300 \mathrm{mkc}$
$SIFS = 16 \mathrm{mkc}$	$AIFS_{AP} = SIFS + 10\sigma$	$W_{\min}^{\mathrm{AP}} = 16$	
$\sigma = 9\mathrm{mkc}$	ACKTIMEOUT = 45 MKC	$W_{\rm max}^{\rm AP} = 1024$	

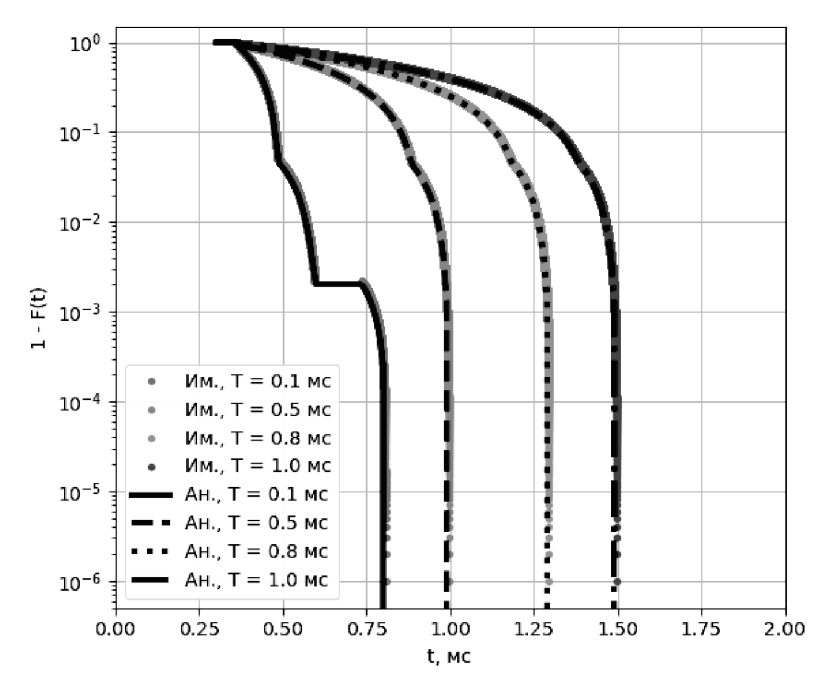


Рис. 1. Дополненная функция распределения задержки, $\lambda = 50\,\mathrm{c}^{-1}$

доступа при коллизиях. На рис. 1 и 2 представлены графики зависимости дополненной функции распределения задержки от времени и эффективности использования канала от интенсивности RTA-трафика. Как видно из графиков, результаты аналитической модели (кривые "Ан.") отличаются от результатов имитационной (кривые "Им.") не более чем на 2% для дополненной функции распределения задержки, и не более чем на 1% для эффективности использования канала при малой интенсивности RTA-трафика. При большей интенсивности RTA-трафика значение эффективности для математической и имитационной моделей незначительно возрастает из-за роста вероятностей возникновения коллизии с точкой доступа и передачи RTA-кадра без использования механизма вытеснения, однако оно по-прежнему меньше 1%. Разработанная аналитическая модель позволяет с высокой точностью оценивать квантили задержки порядка 0,99999, поэтому ее можно использовать для выбора параметров механизма вытеснения для RTA-трафика. На графиках дополненной функции распределения задержки от времени видны особые точки, в которых меняется характер зависимости. По абсциссе они соответствуют максимальной задержке доставки RTA-кадра, сгенерированного в пустом слоте. Большие задержки возможны при передаче RTA-кадра с вытеснением или при коллизии. На рис. 1 для T = 0.1 мс виден горизонтальный участок, наличие которого обусловлено тем, что для такой длительности фрагмента максимальная задержка при передаче с вы-

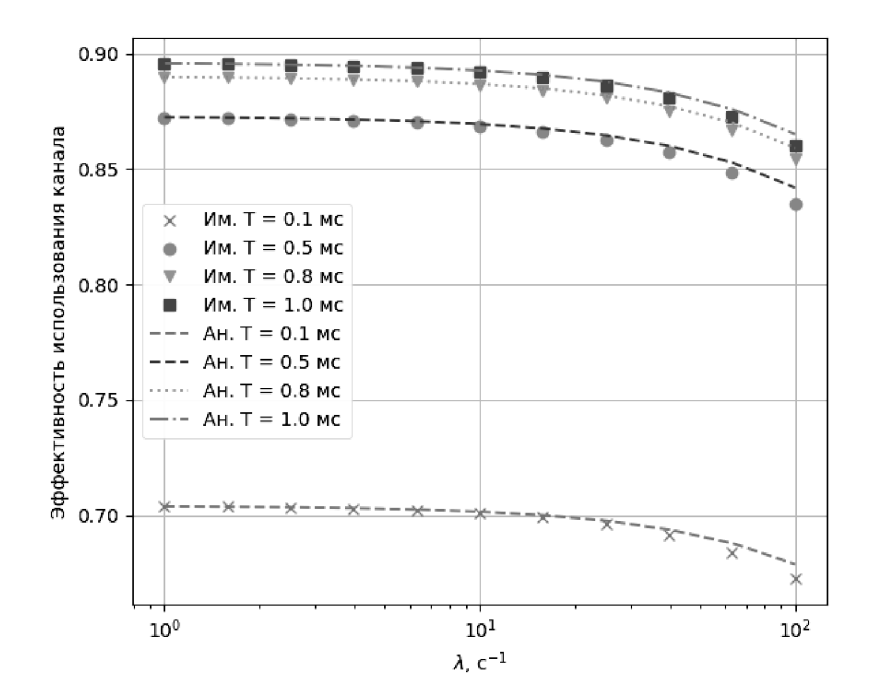


Рис. 2. Зависимость эффективности использования канала от интенсивности трафика

теснением оказывается меньше, чем минимальная задержка в случае коллизии. Таким образом, при малых значениях T квантиль задержки порядка 0,999—0,99999 определяется вероятностью коллизии RTA-станции с точкой доступа, а при больших T — вероятностью генерации RTA-кадра в первом интервале. Из зависимости эффективности использования канала от интенсивности видно, что эффективность использования канала падает с увеличением λ и растет с увеличением T.

- **5.2.** Влияние параметров механизма вытеснения. Рассмотрим, как выбор параметров механизма вытеснения влияет на значения 0,99999-квантиля задержки и эффективности использования канала. Значение 0,99999-квантиля задержки практически не изменяется от интенсивности трафика и совпадает с показанным на рис. 1. На рис. 2 показана зависимость эффективности использования канала от интенсивности трафика. Эффективность возрастает с ростом T, что объясняется снижением накладных расходов на передачу. Таким образом, для максимизации эффективности использования канала точкой доступа и выполнения ограничения на квантиль задержки доставки RTA-кадров нужно установить T наибольшим, но так, чтобы при нем выполнялось ограничение на квантиль задержки.
- **5.3.** Выбор параметра T. Рассмотрим, как выбирать значение параметра T. На рис. 3 представлены зависимости Q-квантиля задержки от длительности фрагмента T. Данные зависимости показывают, что при значениях T, превышающих некоторое значение T^* , квантили задержки близки к максимальной задержке при передаче с использованием механизма вытеснения RTA-кадра, сгенерированного в первом интервале, равной

$$D_{\text{first}}^{\text{max}} = RTS + \text{SIFS} + \text{CTS} + \text{SIFS} + T + \text{SIFS} + T_r + \text{AIFS}_{\text{RTA}}, \tag{23}$$

причем квантили порядка 99.9-99.99% практически совпадают с данной величиной, а квантиль 99% ниже максимальной задержки примерно на $0.05\,\mathrm{Mc}$.

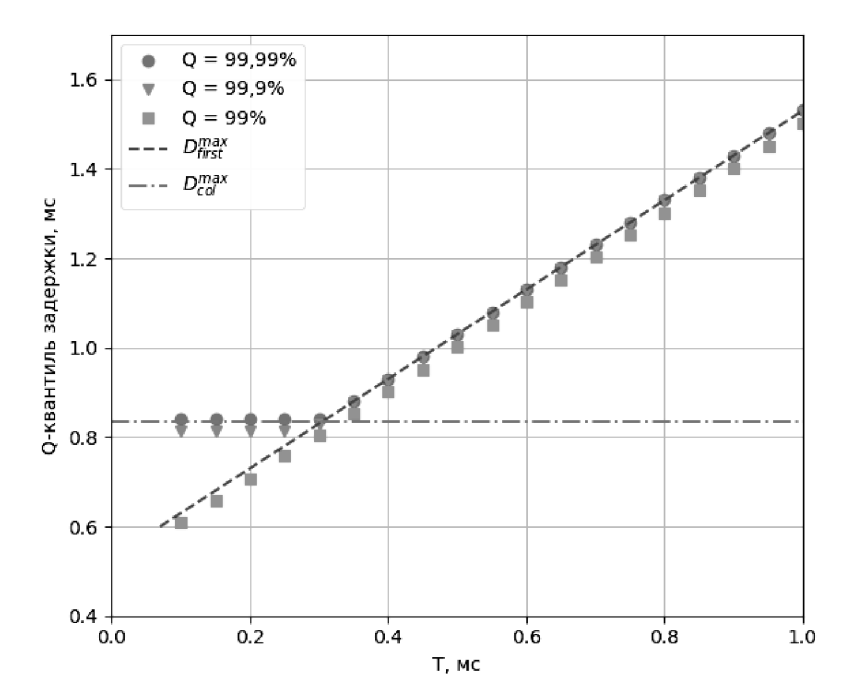


Рис. 3. Зависимость Q-квантилей от длительности фрагмента

При $T < T^*$ квантиль задержки порядка 99% также близок к $D_{\rm first}^{\rm max}$, а квантили задержки порядка 0,999–0,9999 определяются максимальной задержкой, соответствующей случаю коллизии кадров RTA-станции и точки доступа, равной

$$D_{\text{col}}^{\text{max}} = \sigma + T_c + (W_1^{\text{RTA}} - 1) \cdot \sigma + T_r + \text{AIFS}_{\text{RTA}}.$$
 (24)

Длину фрагмента T^* , начиная с которого меняется зависимость, можно найти из уравнения

$$D_{\text{first}}^{\text{max}} = D_{\text{col}}^{\text{max}}.$$

В рассматриваемом случае $T^* \approx 0.3 \,\mathrm{Mc}$.

Таким образом, при $D^* > D_{\mathrm{col}}^{\mathrm{max}}$ и $Q \geqslant 99\%$ параметр T можно выбирать, исходя из уравнения

$$D_{\text{first}}^{\max}(T) = D^*.$$

В противном случае, если $D^* < D_{\rm col}^{\rm max}$, нужно сравнить 1-Q с вероятностью коллизии передач RTA-станции и точки доступа. Если

$$p_{\text{idle}} \cdot \tau < 1 - Q$$
,

параметр T можно выбрать исходя из того же уравнения. Если

$$p_{\text{idle}} \cdot \tau \geqslant 1 - Q,$$

то квантиль задержки близок к значению $D_{\rm col}^{\rm max},$ и меньшую задержку обеспечить нельзя.

§ 6. Заключение

В данной статье исследован механизм вытеснения, который планируется использовать для обслуживания приложений реального времени (RTA) в сетях Wi-Fi 8. При его использовании передачи неприоритетных данных разделяются на фрагменты, между которыми предусмотрены интервалы времени, когда можно передать приоритетные данные, даже если доступ к каналу был получен другим устройством.

В статье представлена аналитическая модель передачи данных при использовании метода доступа к каналу с вытеснением. Даны рекомендации для выбора параметров метода доступа для доставки приоритетных данных с требуемым квантилем задержки доставки RTA-кадров и максимальной эффективностью использования канала точкой доступа.

В расширенной версии данной статьи [10] также проведено сравнение метода доступа с вытеснением и стандартного метода доступа к каналу EDCA и показано, что при оптимальных параметрах обоих методов метод доступа с вытеснением обеспечивает существенно большую пропускную способность сети.

В дальнейшем планируется расширить разработанную модель для сети с неидеальным каналом и с большим количеством RTA-станций.

СПИСОК ЛИТЕРАТУРЫ

- 1. *Карамышев А.Ю.*, *Порай Е.Д.*, *Хоров Е.М.* Оценка емкости системы сверхнадежной связи с низкими задержками с помощью аппроксимаций для многосерверных систем массового обслуживания G/G/s // Пробл. передачи информ. 2024. Т. 60. № 2. С. 36–52. https://doi.org/10.31857/S0555292324020049
- Fang J., Akhmetov D., Park M., Cariou L., Stacey R. Preemption for Low Latency Application. IEEE 802.11-23/0092r0. Mar. 13, 2023. https://mentor.ieee.org/802.11/dcn/23/11-23-0092-00-0uhr-preemption.pptx.
- 3. Ruy K., Chu L., Wang H., Cao R., Zhang H. Low Latency Support in UHR. IEEE 802.11-23/0018r1. Feb. 5, 2023. https://mentor.ieee.org/802.11/dcn/23/11-23-0018-01-0uhr-low-latency-support-in-uhr.pptx.
- Moon J., Kim R. Y. Preemptive Channel Access Scheme for Next Generation Wi-Fi // Proc. 2024 IEEE Int. Conf. on Big Data and Smart Computing (IEEE BigComp 2024). Bangkok, Thailand. Feb. 18–21, 2024. P. 131–135. https://doi.org/10.1109/BigComp60711.2024. 00029
- 5. Bankov D., Chemrov K., Khorov E. Tuning Channel Access to Enable Real-Time Applications in Wi-Fi 7 // 12th Int. Congr. on Ultra Modern Telecommunications and Control Systems and Workshops (ICUMT 2020). Brno, Czech Republic. Oct. 5–7, 2020. P. 20–25. https://doi.org/10.1109/ICUMT51630.2020.9222409
- 6. Лихтичиндер Б.Я., Привалов А.Ю. Обобщение формул для моментов очереди при неординарном пуассоновском потоке для очередей пакетов в системах телекоммуникаций // Пробл. передачи информ. 2023. Т. 59. № 4. С. 32–37. https://doi.org/10.31857/S0555292323040046
- 7. Угловский А.Ю., Мельников И.А., Алексеев И.А., Куреев А.А. Оценка низкого уровня ошибок с помощью выборки по значимости с равномерным распределением // Пробл. передачи информ. 2023. Т. 59. № 4. С. 3–12. https://doi.org/10.31857/S0555292323040010
- 8. Bankov D.V., Khorov E.M., Lyakhov A.I., Sandal M.L. Approach to Real-Time Communications in Wi-Fi Networks // J. Commun. Technol. Electron. 2019. V. 64. P. 880–889. https://doi.org/10.1134/S1064226919080205
- 9. Vishnevsky V., Lyakhov A. 802.11 LANs: Saturation Throughput in the Presence of Noise // Networking Technologies, Services, and Protocols; Performance of Computer and Communication Networks; Mobile and Wireless Communications. Proc. 2nd Int. IFIP-TC6 Network-

- ing Conf. (NETWORKING 2002). Pisa, Italy. May 19–24, 2002. Lect. Notes Comp. Sci. V. 2345. Berlin: Springer, 2002. P. 1008–1019. https://doi.org/10.1007/3-540-47906-6_82
- 10. Riterman A.V., Bankov D.V., Lyakhov A.I., Khorov E.M. Modeling of Channel Access with Preemption in Wi-Fi 8 Networks // Probl. Inf. Transm. 2024. V. 60. № 4 (to appear). https://doi.org/10.1134/S0032946024040045

Ритерман Алиса Вадимовна
Банков Дмитрий Викторович
Ляхов Андрей Игоревич
Хоров Евгений Михайлович
Институт проблем передачи информации
им. А.А. Харкевича Российской академии наук, Москва riterman@wireless.iitp.ru
bankov@iitp.ru
lyakhov@iitp.ru
khorov@wireless.iitp.ru

Поступила в редакцию 19.11.2024 После доработки 19.11.2024 Принята к публикации 10.12.2024